

MAGS EP5 - Stand der Arbeit

FU Berlin, FR Geophysik

8. Oktober 2012



Themen

1. *Seismogenic Index*
2. Modellierung Dipol (Produktion/Zirkulation)
3. Modellierung heterogener Permeabilitätsverteilung
4. Nichtlineare Diffusion (backfront-Analyse)

Seismogenic Index - tabellarisch

Lokation (Jahr/Typ)	Fluid [m^3]	Σ
Basel (2006/EGS)	10 800	0.4
Cooper (2003/EGS)	14 600	-0.9
Ogachi (1991/EGS)	10 100	-2.6
Ogachi (1993/EGS)	20 700	-3.2
Soultz (1993/EGS)	25 900	-2.0
Soultz (1995/EGS)	28 500	-3.8
Soultz (1996/EGS)	13 500	-3.1
Soultz (2000/EGS)	23 400	-0.5
KTB (1994/SCI)	86	-1.65
KTB (2004-05/SCI)	64 130	-4.2
Paradox V. (1997-2000/WD)	$1.7 \cdot 10^6$	-2.6
Barnett (FRAC)	2840	-9.2
Cotton V. A (FRAC)	1020	-6.2
Cotton V. B (FRAC)	950	-4.4
Cotton V. C (FRAC)	333	-9.4

Seismogenic Index:

- ▶ Aufnahme neuer Datensätze
- ▶ Analyse Korrelationen

$$\Sigma = \log_{10} N - \log_{10} V_f + bM$$

EGS: Enhanced Geothermal System, SCI: Scientific, WD: Waste Disposal, FRAC: Hydraulic Fracturing

Seismogenic Index - tabellarisch

Seismogenic Index: neue Datensätze

- ▶ MAGS Daten: Unterhaching
- ▶ weitere Daten: hydro-fracking
- ▶ Daten aus McGarr (2012): (im Wesentlichen) waste-disposal Injektionen

EGS: Enhanced Geothermal System, HYD: Hydrothermal System, SCI: Scientific, WD: Waste Disposal, FRAC: Hydraulic Fracturing

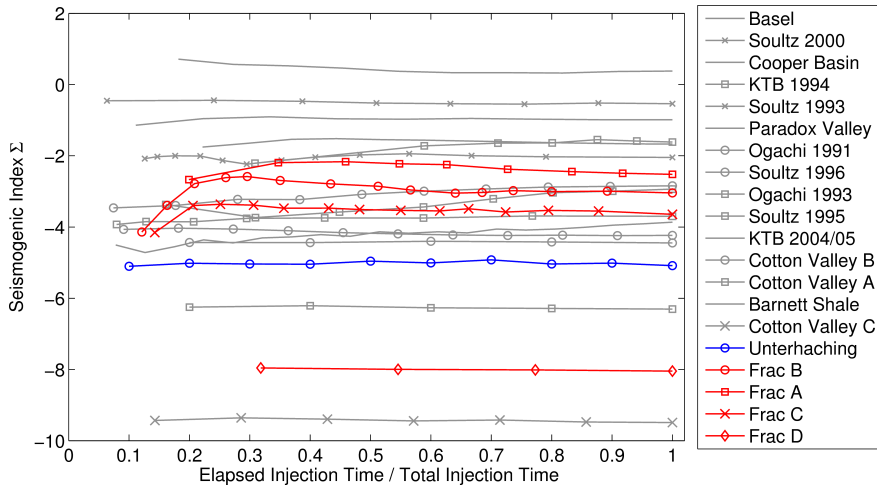
Lokation (Typ)	Fluid [m^3]	Σ
Unterhaching (HYD)	$8.2 \cdot 10^6$	-5.0
Data A (FRAC)	3160	-2.9
Data B (FRAC)	2200	-2.3
Data C (FRAC)	2750	-3.5
Data D (FRAC)	2700	-8.0

$$\Sigma = \log_{10} N - \log_{10} V_I + bM$$

Lokation (Typ)	Fluid [m^3]	Σ
Raton Basin 1 (WD)	$5 \cdot 10^6$	-0.1
Raton Basin 2 (WD)	$2.9 \cdot 10^6$	-0.2
Raton Basin 3 (WD)	400 000	-0.1
RM Arsenal (WD)	630 000	0.3
POH (WD)	$1.1 \cdot 10^6$	0.0
GAK (WD)	630 000	0.0
ASH 1 (WD)	330 000	-0.6
ASH 2 (WD)	60 000	-0.4
YOH (WD)	80 000	0.0
GAR (FRAC)	9000	-0.6
BUK (FRAC)	3000	-0.8

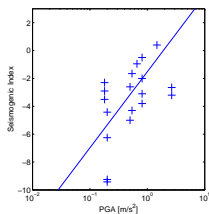
$$\Sigma = bM_{max} - \log_{10} V_I$$

Seismogenic Index - graphisch

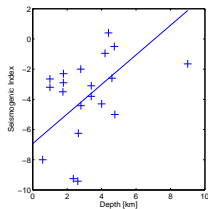


Seismogenic Index - Korrelationen

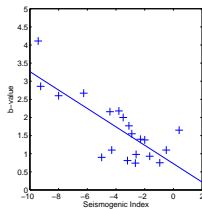
a - $CC \approx 0.65$



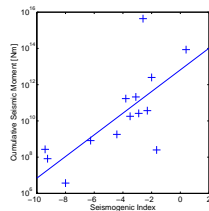
b - $CC \approx 0.4$



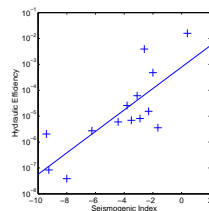
c - $CC \approx 0.79$



d - $CC \approx 0.9$



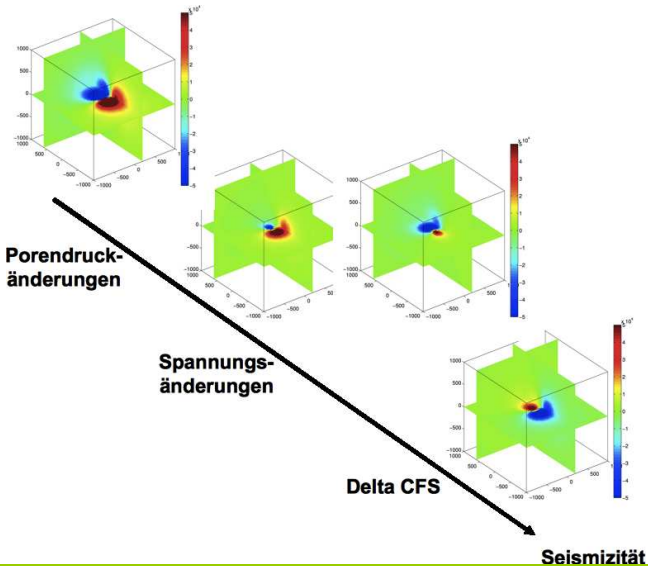
e - $CC \approx 0.79$



- ▶ a: PGA (tectonic seismicity): GSHAP hazard map [Giardini et al., 2003]
- ▶ b: depth of stimulated reservoir and induced seismicity
- ▶ c: b -value of the frequency magnitude distribution
- ▶ d: cumulative seismic moment release
- ▶ e: seismic energy normalised to hydraulic energy

Modellierung - Produktion

Modellierung der Porenfluiddruck- und Spannungsänderungen (poroelastische Kopplung) als Dipol (Injektionsbohrung - Förderbohrung)



Modellierung - Parameter

Abmessung x, y, z	3000 m
Abstand Dipol Δ_{Dipol}	100 m
Zeit	$t_1 = 30$ Tage, $\Delta_{t_1} = 2$ Tage $t_2 = 12$ Monate, $\Delta_{t_2} = 1$ Monat $t_3 = 10$ Jahre, $\Delta_{t_3} = 1$ Jahr
Permeabilität, isotrop	$\kappa = 5 \cdot 10^{-16} m^2$
anisotrop	$\kappa = \text{diag}(500, 10, 1) \cdot 10^{-18} m^2$
Fliessrate	$q = 50 l/s$
Young Modul	$E = 90 GPa$
Bulk Modul, grain material	$K_{gr} = 200 GPa$
Wasser	$K_{fl} = 2.25 GPa$
Viskosität(150 °C)	$\eta = 1.75 Pa s$
Porosität	$\phi = 0.05$
Poisson Zahl	$\nu = 0.28$

⇒ Porenfluiddruckänderungen $p(r, t)$

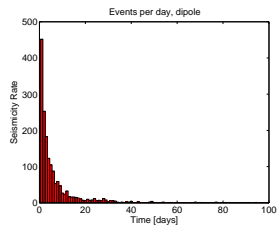
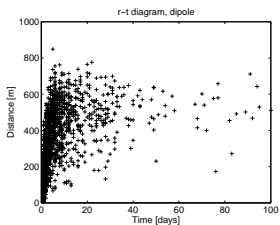
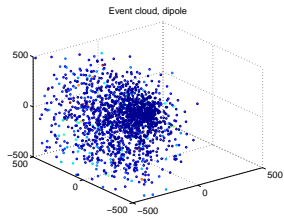
⇒ Spannungsänderungen $\sigma_{i,j}(r, t)$, $i, j = 1, 2, 3$

Modelle:

- ▶ Ausrichtung Dipol
- ▶ unterschiedliche Raten für Injektion und Förderung

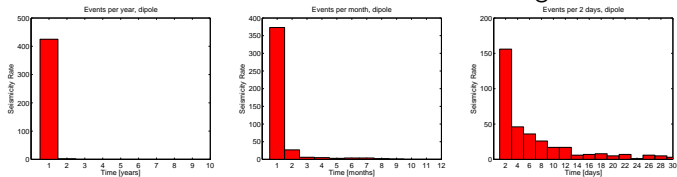
Modellierung - Synthetische Ereignisse

Vergleich Kritikalität – Änderungen CFS → Seismizität

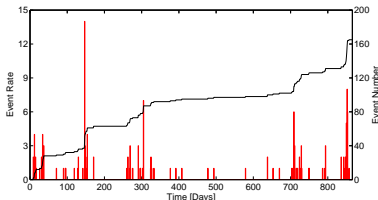


Modellierung - Synthetische Ereignisse, Unterhaching

Seismizitätsrate: konstante Fließraten \rightarrow Gleichgewichtszustand



Unterhaching: Seismizität infolge Änderungen in Fließraten ?



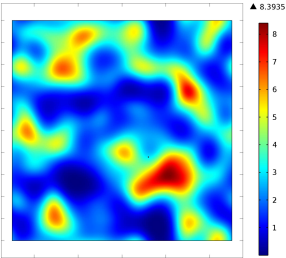
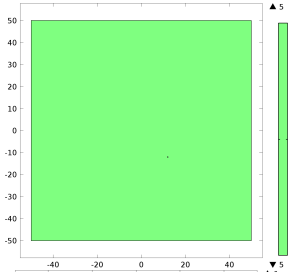
\rightarrow Daten aus Unterhaching zur Kalibrierung der Modell-Parameter

Modellierung - Heterogenitäten in Permeabilität

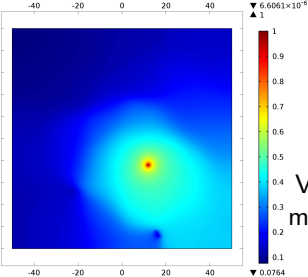
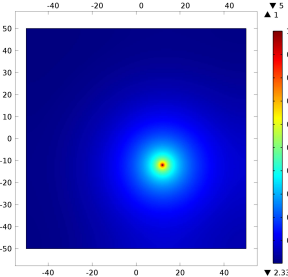
homogen

heterogen

2D Modelle



Mediumsdiffusivität

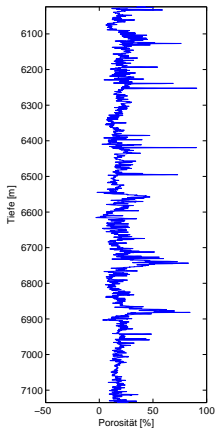


Porenfluiddruck-
Verteilung nach Injektion
mit 1 MPa Injektionsdruck

Modellierung - Heterogenitäten in Permeabilität

Ausblick: realistische Modelle durch Bestimmung der Verteilung der Mediumsdiffusivität aus Bohrlochmessungen

Porosität



Permeabilität

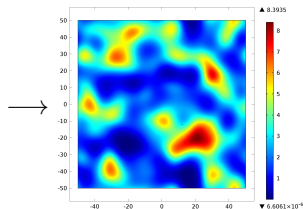
$$\kappa = C_C \frac{\phi^m}{(1 - \phi)}$$

Costa (2006, GRL):

Permeabilität-Porosität
Beziehung basierend
auf fraktaler
Porenraumgeometrie

C_C : Geometriefaktor
 m : Archie Exponent

Diffusivität





Giardini, D., Grünthal, G., Shedlock, K. M., and Zhang, P. (2003).

International Handbook of Earthquake & Engineering Seismology, volume 81 of *International Geophysics Series*, chapter The GSHAP Global Seismic Hazard Map, pages 1233–1239.

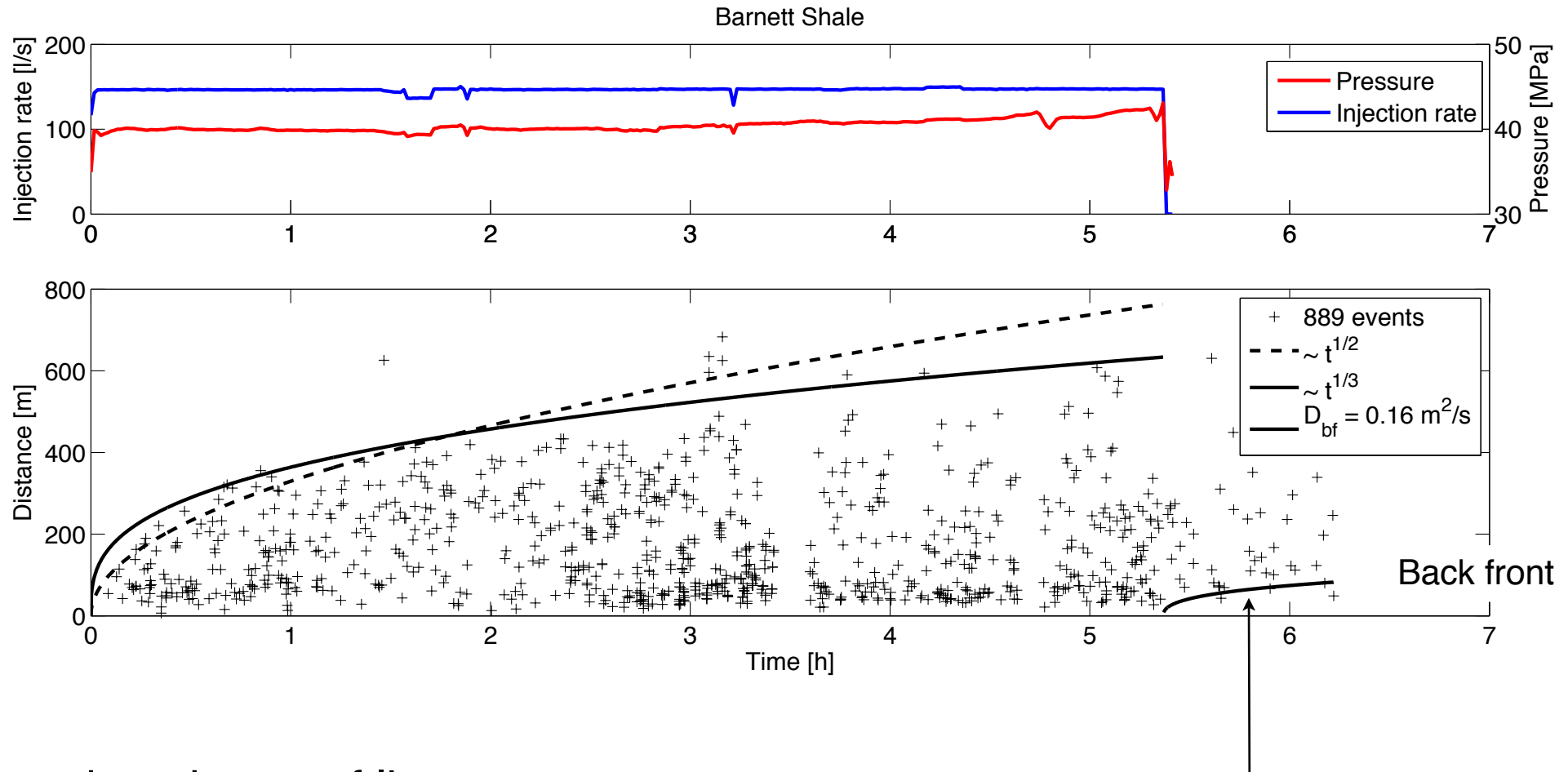
Academic Press, Amsterdam.



Back front Signatures of Nonlinear Pore Pressure Diffusion

Back front of seismicity

Data are courtesy of S. Maxwell (formerly at Pinnacle Technologies, now at Schlumberger)



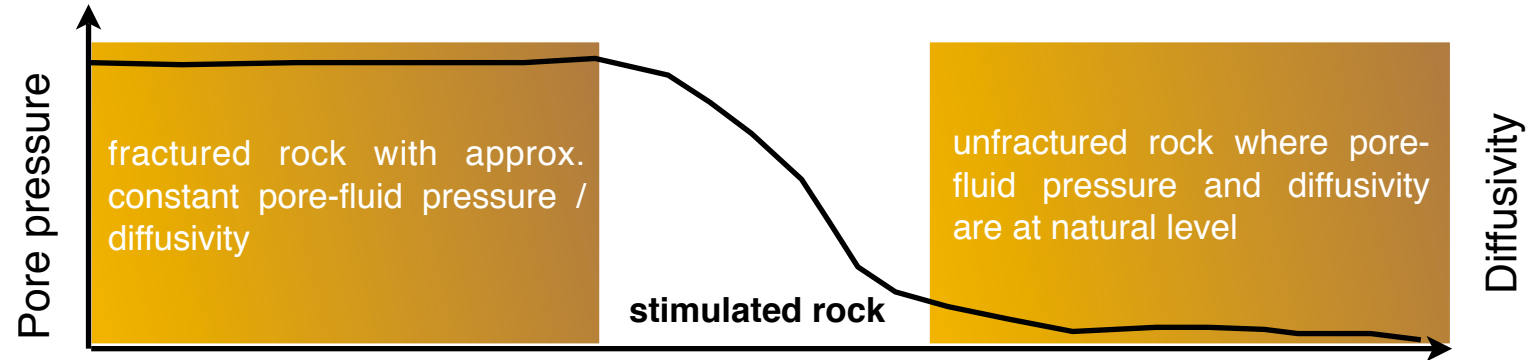
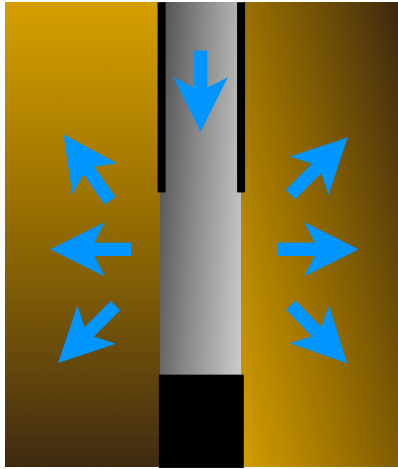
Based on theory of linear poro-elasticity:

$$r_{bf} = \sqrt{2 d \underline{D_{bf}} t \left(\frac{t}{t_0} - 1 \right) \ln \left(\frac{t}{t - t_0} \right)}$$

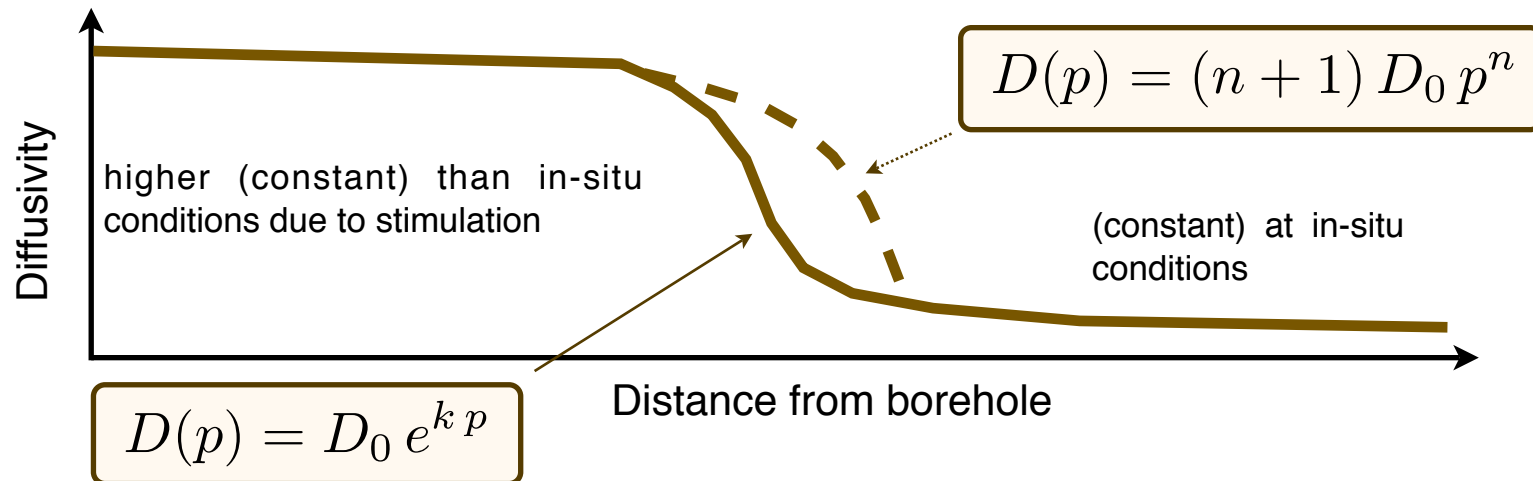
→ Back front of seismicity
(Parotidis et al., 2004)

Nonlinear fluid-rock interaction

Observation:



Model:



Spatio-temporal pore pressure evolution

$$D(p) = D_0 e^{k p}$$

- ▶ Rocks with a non-negligible initial diffusivity
- ▶ Granitic rock
- ▶ Geothermic reservoirs

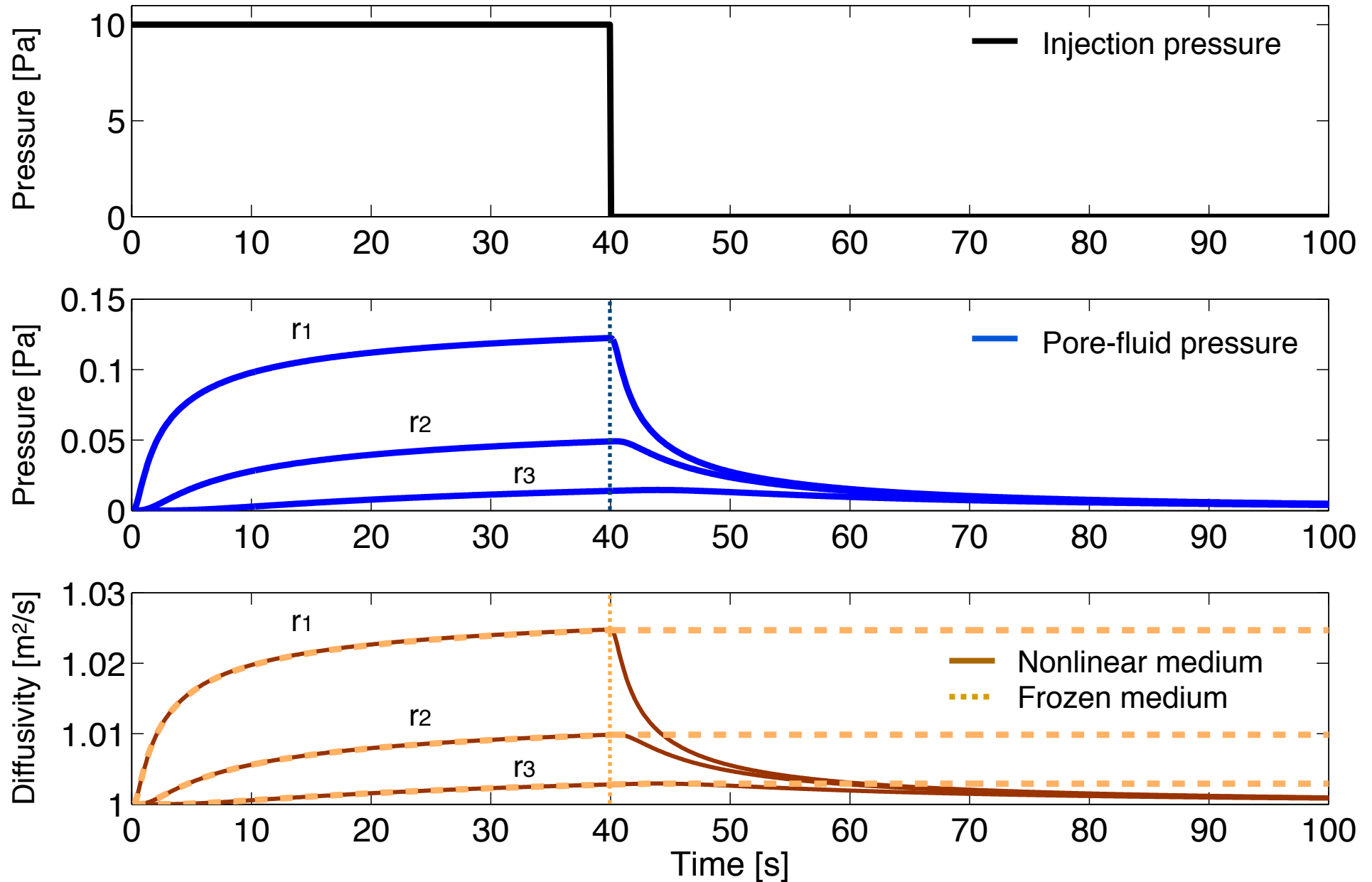
$$D(p) = (n + 1) D_0 p^n$$

- ▶ Rocks with almost insignificant initial diffusivity
- ▶ Shales

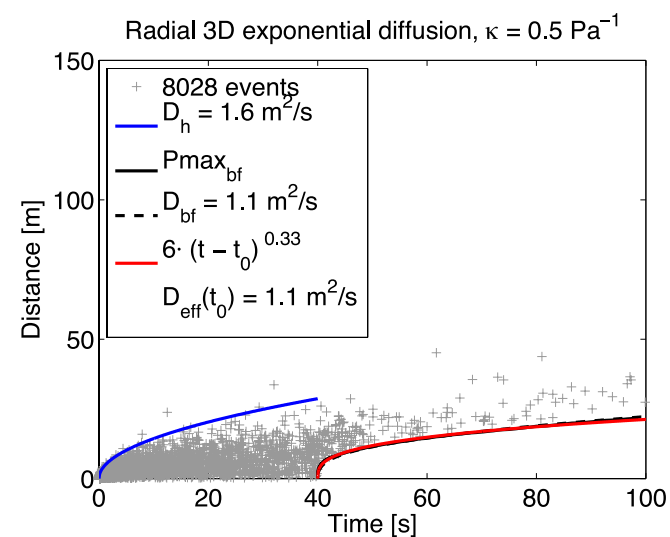
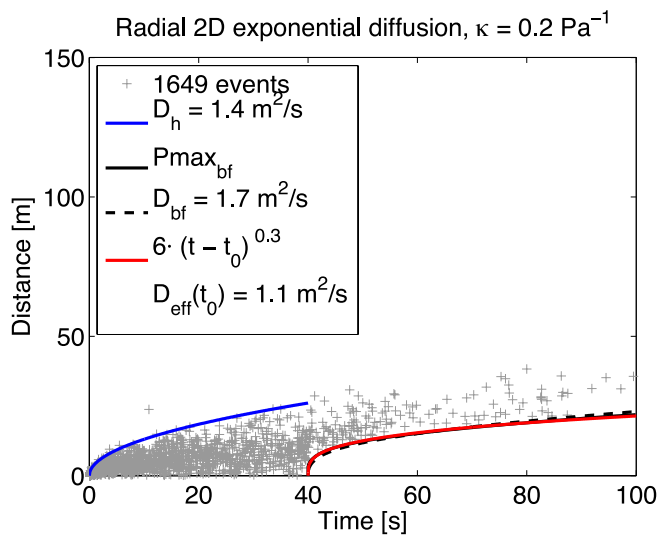
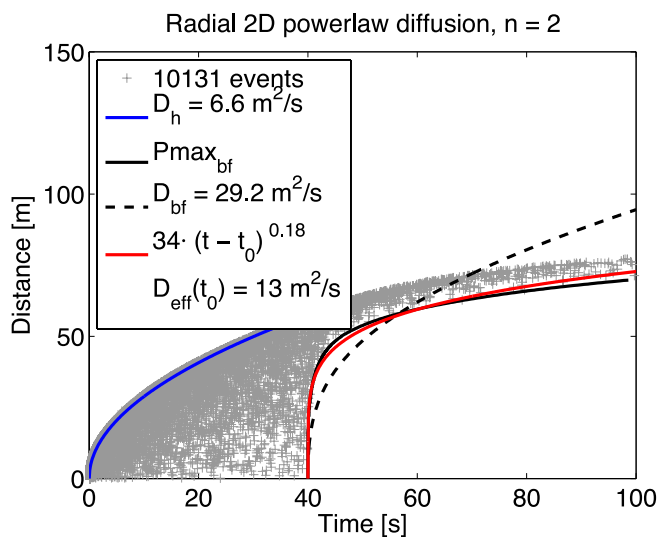
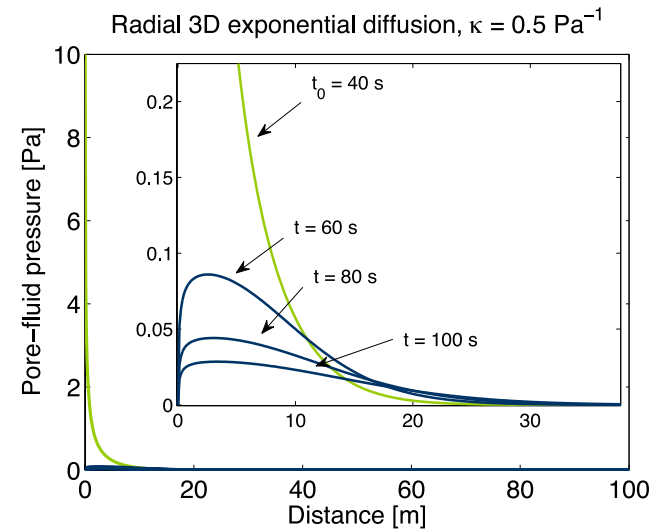
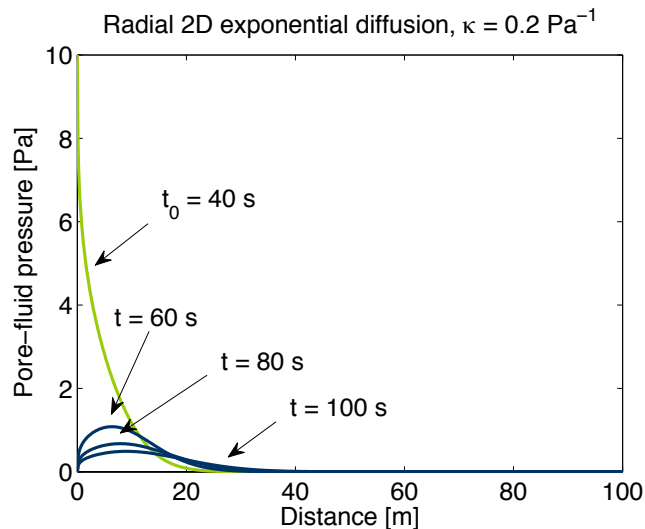
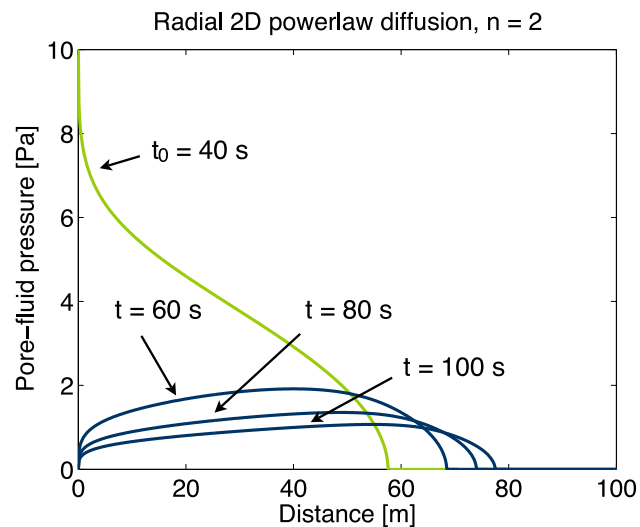

$$\frac{\partial r^{d-1} p}{\partial t} = \frac{\partial}{\partial r} \left(D(p) r^{d-1} \frac{\partial p}{\partial r} \right)$$

Shapiro and Dinske (2009)
Hummel and Shapiro (2012)

Hydraulic transport simulation



Results for frozen medium



Real data example

Data are courtesy of H. Kaieda (CRIEPI)

